

## О первопринципном расчете спаривательной щели в атомных ядрах

С. С. Панкратов, М. Балдо<sup>+</sup>, М. В. Зверев, У. Ломбардо\*, Э. Е. Саперштейн<sup>1)</sup>, С. В. Толоконников

Российский научный центр “Курчатовский Институт”, 123182 Москва, Россия

<sup>+</sup> Национальный институт ядерной физики, 95123 Катания, Италия

\* Национальный институт ядерной физики, Национальная лаборатория Юга; Университет г. Катания, Италия

Поступила в редакцию 10 сентября 2009 г.

Анализируется роль эффективной массы в первопринципном уравнении теории БКШ для спаривательной щели в атомных ядрах.

PACS: 21.60.–n, 21.65.+f, 26.60.+c, 97.60.Jd

Последовательной микроскопической теории тяжелых и средних ядер, основанной на первых принципах, до сих пор не существует. Однако в последние годы в этом направлении достигнут определенный прогресс. В частности, это относится к теории спаривания нуклонов в атомных ядрах. “Первопринципное” уравнение для щели  $\Delta$  для конкретного ядра  $^{120}\text{Sn}$  (реперного для проблемы спаривания) было решено в ряде работ Миланской группы [1–3]. Слово “первопринципное” взято в кавычки, так как речь идет лишь о первом шаге в проблеме – о решении уравнения теории Бардина–Купера–Шриффера (БКШ) для щели со свободным  $NN$ -потенциалом в качестве спаривательного взаимодействия. В [2, 3] рассматривались также многотельные поправки к теории БКШ в рамках подхода, оперирующего феноменологическими  $NN$ -силами. Помимо неопределенностей, связанных с выбором этих сил, в этом подходе имеются и неточности, вызванные учетом охватывающих (“*tadpole*”) диаграмм (см. обсуждение в [4, 5]). Здесь мы ограничимся анализом первопринципного уравнения для щели теории БКШ.

Во всех процитированных работах использовался Аргоннский  $NN$ -потенциал  $v_{14}$ . В первой из них применялся одночастичный базис модели оболочек (потенциал Саксона–Вудса) с эффективной массой  $m^* = m$ , и было получено значение  $\Delta = 2.2$  МэВ, примерно в полтора раза превышающее экспериментальное ( $\simeq 1.4$  МэВ). В последующих работах этой группы использовался самосогласованный базис, найденный в рамках метода Скимра–Хартри–Фока (СХФ) с эффективными силами, приводящими к зависящей от плотности эффективной массе  $m^*(\rho)$ . Конкретно применялись популярные силы  $SLy4$ , характеризующиеся маленькой эффективной массой, при рав-

новесной ядерной плотности равной  $m^* \simeq 0.7m$ . При решении уравнения БКШ были получены величины  $\Delta \simeq 0.7$  МэВ в [2] и  $\Delta \simeq 1.0$  МэВ в [3]. В дальнейшем анализе мы будем ориентироваться на второе, более позднее, значение. Отметим, что почти такое же значение щели было получено нами [6] при решении уравнения БКШ для плоского слоя ядерной материи с параметрами, имитирующими ядро  $^{120}\text{Sn}$ . При этом использовался Аргоннский  $v_{18}$  потенциал, лишь незначительно отличающийся от потенциала  $v_{14}$ , но применялся одночастичный базис с  $m^* = m$ .

Недавно были опубликованы результаты решения первопринципного уравнения БКШ [7, 8] сразу для большого числа ядер, основанные на использовании ставших популярными в последнее время реалистических так называемых “мягких” (*low-k*) сил, которые определены так, чтобы правильно описывать фазы свободного  $NN$ -рассеяния при  $k < \Lambda$ , где  $\Lambda$  – заданный параметр обрезания. При этом использовался тот же самосогласованный базис, основанный на эффективных силах  $SLy4$ , что и в [3]. Для рассматриваемого ядра  $^{120}\text{Sn}$  было получено значение  $\Delta \simeq 1.4$  МэВ, которое совпадает с экспериментальным, не оставляя места для поправок к теории БКШ. Это обстоятельство вызывает вопросы. Действительно, существуют расхождения в абсолютной величине поправок к щели теории БКШ (см., например, [3] и [9]), но не в их знаке: все известные нам расчеты этих поправок увеличивают величину  $\Delta$ , причем значительно. Поэтому решение уравнения БКШ должно приводить к величине щели меньше экспериментальной. В работе [8] было показано, что при совпадении остальных деталей расчета мягкие силы приводят к таким же результатам для щели, что и Аргоннский  $v_{18}$  потенциал. Таким образом, имеются прямые противоречия в решении, казалось бы, однозначно поставленной задачи между миланской группой, с од-

<sup>1)</sup> e-mail: saper@mbslab.kiae.ru

ной стороны, и Дуге с соавторами, с другой. В данной работе мы займемся анализом этого противоречия. Решая уравнение для щели для обсуждаемого ядра  $^{120}\text{Sn}$  в различных предположениях о среднем поле, мы используем Парижский потенциал, сепарабельная форма которого [10, 11] облегчает решение. Прямое сравнение в [6] показало, что для плоского слоя различия в величине щели для Парижского потенциала и Аргоннского взаимодействия  $v_{18}$  не превышают 10%. Это позволяет надеяться, что и в сферическом ядре результаты, полученные с Парижским потенциалом, примерно с такой же точностью можно сопоставлять с результатами для Аргоннских  $NN$ -сил.

Уравнение теории многих тел для спаривательной щели  $\Delta$  [12] в символической записи имеет вид

$$\Delta(\mu) = - \int \frac{d\varepsilon}{2\pi i} \mathcal{U}(\mu, \varepsilon) A^s(E = 2\mu, \varepsilon) \Delta(\varepsilon), \quad (1)$$

где  $\mathcal{U}$  – неприводимый в канале двух частиц блок  $NN$ -взаимодействия,  $E$  – полная энергия в двухчастичном канале,  $\mu$  – химический потенциал данного типа частиц, а  $A^s = GG^s$  – двухчастичный пропагатор:  $G$  и  $G^s$  – одночастичные функции Грина соответственно в нормальной и сверхтекучей системах. Символическое умножение, как обычно, означает интегрирование по промежуточным координатам и суммирование по спиновым переменным. Термин “теория БКШ” используют в несколько различных смыслах. В теории ядерной материи под этим подразумевают замену в (1) блока  $\mathcal{U}$  на свободный  $NN$ -потенциал  $\mathcal{V}$ , а также использование простых квази-частичных функций Грина для  $G$  и  $G^s$ . Мы и для конечных систем придерживаемся такого же понимания этого термина. Тогда уравнение (1) упрощается и приводится к принятому в методе Боголюбова виду

$$\Delta = -\mathcal{V}\kappa, \quad (2)$$

где аномальная матрица плотности  $\kappa = \int GG^s$  может быть выражена непосредственно через функции  $u$  и  $v$ ,

$$\kappa(\mathbf{r}_1, \mathbf{r}_2) = \sum_i u_i(\mathbf{r}_1)v_i(\mathbf{r}_2), \quad (3)$$

которые подчиняются системе уравнений Боголюбова. Суммирование в (3) выполняется по полной системе боголюбовских функций с собственными энергиями  $E_i > 0$ .

В работах [1–3] система уравнений Боголюбова в сочетании с уравнением (1) для щели с реалистическим Аргоннским  $NN$ -взаимодействием  $v_{14}$  решалась напрямую в базисе состояний  $\{\lambda\}$ , ограниченных фиксированной энергией  $E_{\max}$ . Трудность

применения такого прямого метода решения проблемы ядерного спаривания связана с медленной сходимостью в уравнении для щели  $\Delta$  сумм по промежуточным состояниям  $\lambda$ . Эти суммы являются аналогом интеграла по импульсам в уравнении для щели в бесконечной ядерной материи, плохая сходимость которого обусловлена короткодействующим характером  $NN$ -сил. В [1] использовалось значение  $E_{\max}=600$  МэВ, а в [2, 3] –  $E_{\max}=800$  МэВ. Анализ, выполненный в [6], показал, что даже использование такого, казалось бы, большого значения  $E_{\max}$  позволяет найти решение для  $\Delta$  только с точностью порядка 10%.

В серии работ, обобщенных в обзорах [4, 13], нами был развит двухступенчатый метод решения проблемы спаривания в конечных системах, связанный с концепцией эффективного взаимодействия. В этом подходе полное гильбертово пространство  $S$  проблемы спаривания разбивается явно на модельное подпространство  $S_0$ , включающее одночастичные состояния с энергиями меньше заданной величины  $E_0$ , и дополнительное к нему подпространство  $S'$ . Уравнение для щели решается в модельном пространстве, причем в это уравнение вместо исходного  $NN$ -взаимодействия  $\mathcal{V}$  входит эффективное спаривательное взаимодействие  $V_{\text{eff}}^p$ . Последнее находится решением уравнения типа уравнения Бете–Голдстоуна в дополнительном подпространстве. Преимущество такого подхода состоит в том, что при достаточно широком модельном пространстве эффектами спаривания в уравнении для  $V_{\text{eff}}^p$  можно пренебречь. Для расчета эффективного взаимодействия в задаче о спаривании в плоском слое был найден новый вариант локального приближения – локально-потенциальное приближение (LPA). Оно заключается в том, что в пространстве  $S'$  для каждой точки  $\mathbf{R}$  можно пользоваться формулами бесконечной системы, помещенной в потенциальное поле  $U(\mathbf{R})$  (отсюда и название приближения). Это делает уравнение для  $V_{\text{eff}}^p$  гораздо более простым, чем исходное уравнение для  $\Delta$ , в результате чего пространство  $S'$  может быть выбрано очень большим. Непосредственным сравнением с прямым решением уравнения для  $V_{\text{eff}}^p$  было показано, что при достаточно большой величине  $E_0$  ( $\approx 20 \div 30$  МэВ) LPA имеет высокую точность повсюду, включая поверхностную область. Это выгодно отличает его от стандартного локально-плотностного приближения (LDA), которое на поверхности практически не работает.

Как отмечалось выше, в наших расчетах щели для плоского слоя использовалась свободная масса  $m^*=m$ . Для этого были следующие основания. Во-

первых, можно считать экспериментальным фактом близость  $m^*$  и  $m$  в ядрах на поверхности Ферми. Только в этом случае удается описать одночастичные спектры ядер. В самосогласованной теории конечных ферми-систем [14] это объясняется почти точным сокращением на поверхности Ферми эффектов зависимости массового оператора нуклона от энергии (“E-mass”) и от импульса (“k-mass”). В методе СХФ учитывается только последняя. Для большинства видов сил Скирма  $m^*$  заметно меньше  $m$ , что приводит к чрезмерно разреженным одночастичным спектрам у поверхности Ферми. В этом отношении гораздо успешнее схемы с  $m^*=m$  [15] или  $m^* \simeq m$  [14]. Однако в уравнение для щели входит одночастичный спектр не только на поверхности Ферми, но и вдали от нее. В этой области использование свободной массы опиралось на тот факт, что эффективное спаривательное взаимодействие  $V_{\text{eff}}^p$ , найденное исходя из любого свободного  $NN$ -потенциала, имеет ярко выраженный поверхностный характер [4]. На поверхности оно примерно в 10 раз сильнее, чем внутри, поэтому поверхностная область в уравнении для  $\Delta$  должна играть основную роль. А на краю ядра плотность  $\rho$  стремится к нулю и все средовые эффекты вымирают, то есть  $m^* \rightarrow m$ . Слабое место такой аргументации – в очень сильной (экспоненциальной) чувствительности щели  $\Delta$  к взаимодействию: изменение  $V_{\text{eff}}^p$  благодаря отличию  $m^*$  и  $m$  даже во внутренней области ядра, где оно мало, может привести к заметным эффектам в величине  $\Delta$ . Именно этот вопрос мы исследуем в данной работе применительно к обсуждаемому ядру  $^{120}\text{Sn}$ .

Все физические причины для применимости приближения LPA в плоском слое остаются справедливыми и при переходе к реальным сферическим ядрам. Принципиально схема решения уравнения для щели при переходе к сферической геометрии не меняется. Признаком применимости LPA служит тот факт, что, начиная с некоторого значения  $E_0$ , при дальнейшем его увеличении величина  $\Delta$  практически не меняется. В случае рассматриваемого ядра  $^{120}\text{Sn}$  таким значением оказалось  $E_0 = 40$  МэВ. Уравнение для щели в модельном пространстве  $S_0$  решалось в  $\lambda$ -представлении с использованием различных одночастичных базисов  $\{\lambda\}$ . Непрерывный спектр дискретизировался с помощью жесткой стенки радиуса  $L = 16$  Фм. Увеличение этого радиуса до  $L = 24$  Фм практически не меняет результатов. Радиальные собственные функции  $R_{nlj}(r)$  находились с шагом  $h = 0.05$  Фм. Мы использовали базис модели оболочек с потенциалом Саксона-Вудса со стандартным набором параметров, а также несколько самосогласо-

ванных базисов, полученных различными методами. Прежде всего, это обобщенный метод энергетического функционала плотности Фаянса и др. [15] с функционалом DF3, а также метод СХФ с различными видами сил Скирма. Первый метод оперирует голый массой,  $m^* = m$ , что объединяет его с моделью оболочек, во втором эффективная масса не равна  $m$  и зависит от плотности. Для выяснения роли эффективной массы мы выбрали два варианта сил Скирма, SKP и SKMS, для которых отличие  $m^*$  от  $m$  незначительно, и популярные силы SLy4, которые использовались во всех процитированных расчетах  $\Delta$  и для которых отличие  $m^*$  от  $m$  велико. При расчете эффективного взаимодействия в пространстве  $S'$  полагалось  $m^*=m$ . В табл.1 приведены диагональные матричные элементы  $\Delta_{\lambda\lambda}$  нейтронной щели в ядре  $^{120}\text{Sn}$  для пяти уровней вблизи поверхности Ферми для каждого из рассмотренных базисов. Величина  $\Delta_F$  – соответствующее ферми-среднее значение щели:  $\Delta_F = \sum_{\lambda} (2j+1)\Delta_{\lambda\lambda} / \sum_{\lambda} (2j+1)$ . В последней строке приведено значение отношения нейтронной эффективной массы к голый в центре ядра,  $m^*(r=0)/m$ . Как видно, во всех случаях, кроме последнего, полученная щель заметно превосходит экспериментальное значение 1.4 МэВ. Это вынуждает нас признать, что учет значительного отличия эффективной массы от  $m$  в первопринципном уравнении для щели является обязательным.

На рис.1 для каждого варианта эффективных сил построена аномальная плотность  $\nu(R) = \nu(R, r=0)$ ,

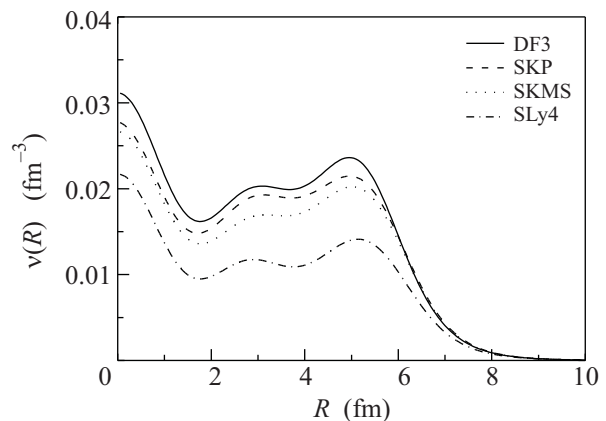


Рис.1. Аномальная плотность  $\nu(R)$

где  $\mathbf{R} = (\mathbf{r}_1 + \mathbf{r}_2)/2$ ,  $\mathbf{r} = \mathbf{r}_2 - \mathbf{r}_1$ . Поскольку щель  $\Delta$  пропорциональна этой величине, у  $\nu(R)$  мы видим такую же зависимость от эффективной массы, что и у матричных элементов  $\Delta_{\lambda\lambda}$  в табл.1. А именно, аномальные плотности для эффективных сил DF3, SKP и SKMS довольно близки друг другу, а для сил SLy4

с малой эффективной массой аномальная плотность заметно подавлена. Отметим выраженный поверхностный максимум в этой величине в каждом случае. Именно он приводит к поверхностному усилению спаривательной щели, обнаруженному для плоского слоя в [16], а для сферических ядер – в [17]. Следуя последней работе, для исследования пространственной картины парных корреляций в сферическом ядре мы рассчитали усредненный по углам квадрат аномальной матрицы плотности:

$$\chi^2(R, r) = \frac{1}{4\pi} \int |\chi(\mathbf{R}, \mathbf{r})|^2 d\Omega. \quad (4)$$

Пространственное распределение куперовских пар, проинтегрированное по относительной координате, дается величиной

$$p(R) = 4\pi R^2 \int \chi^2(R, r) d^3r. \quad (5)$$

Эта величина изображена на рис.2 для тех же четырех вариантов эффективных сил, что и аномальная плотность на рис.1. Как мы видим, отличие ради-

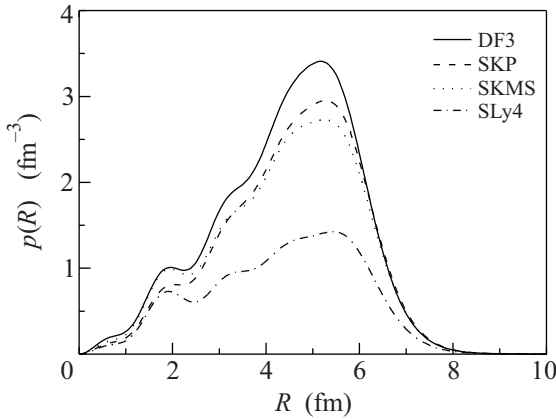


Рис.2. Радиальное распределение числа куперовских пар  $p(R)$

альных распределений  $p(R)$ , рассчитанных для сил DF3, SKP и SKMS, друг от друга невелико, а величина  $p(R)$  для сил SLy4 всюду подавлена, причем в поверхностной области – примерно вдвое. Интеграл от радиального распределения  $p(R)$  по  $R$  определяет полное число куперовских пар в рассматриваемом ядре. Оно равно 11.6 для функционала Фаянса DF3, 10.2 для сил Скирма SKP, 10.0 для SKMS и 5.7 для SLy4.

Напомним, что в случае скирмовских сил мы учитывали отличие эффективной массы от свободной только внутри модельного пространства, а при вычислении  $V_{\text{eff}}^p$  полагали  $m^*=m$ . Это принципиально

Таблица 1

Диагональные матричные элементы  $\Delta_{\lambda\lambda}$  (МэВ) для нескольких вариантов самосогласованного базиса

$\lambda$	SW	DF3	SKP	SKMS	SLy4
$3s_{1/2}$	1.52	1.64	1.55	1.55	1.17
$2d_{5/2}$	1.60	1.73	1.68	1.64	1.24
$2d_{3/2}$	1.64	1.80	1.71	1.68	1.26
$1g_{7/2}$	1.85	2.11	2.02	1.91	1.37
$2h_{11/2}$	1.58	1.79	1.69	1.64	1.18
$\Delta_F$	1.65	1.85	1.76	1.71	1.25
$m^*/m$	1	1	1.16	0.84	0.67

отличает наш расчет методом LPA от расчетов [3] и [7, 8], где следующая из функционала SLy4 эффективная масса использовалась для всех состояний. Чтобы иметь возможность более прямого сопоставления с результатами этих работ, мы произвели некоторую модификацию метода LPA, позволяющую учесть зависящую от плотности эффективную массу  $m_n^*(\rho_n, \rho_p)$  для части пространства  $S'$ , включающей импульсы  $k < \Lambda$ , где  $\Lambda$  – заданный параметр. В духе LPA, для каждой точки  $R$  с потенциалами  $U_n(R), U_p(R)$  естественно рассчитывать плотность частиц данного сорта  $\tau = n, p$  по квазиклассическим формулам:  $\rho_\tau(R) = (p_F^\tau(R))^3/3\pi^2$ ,  $p_F^\tau(R) = [2m_\tau^*(\rho_n(R), \rho_p(R))(\mu_\tau - U_\tau(R))]^{1/2}$ ,  $\mu_n, \mu_p$  – химические потенциалы нейтронов и протонов в данном ядре. Мы провели для функционала SLy4 несколько альтернативных расчетов с различными значениями  $\Lambda$ . Они обозначены SLy4-1 ( $\Lambda=3 \text{ фм}^{-1}$ ), SLy4-2 ( $\Lambda=4 \text{ фм}^{-1}$ ) и SLy4-3 ( $\Lambda=6.2 \text{ фм}^{-1}$ ). Первые два варианта имитируют расчеты [7, 8], последний – [2, 3]. Результаты для щели представлены в табл.2.

Таблица 2

Диагональные матричные элементы  $\Delta_{\lambda\lambda}$  (МэВ) для базиса Sly4 в зависимости от способа учета эффективной массы в уравнении для  $V_{\text{eff}}^p$

$\lambda$	Sly4	Sly4-1	Sly4-2	Sly4-3
$3s_{1/2}$	1.17	1.07	0.88	0.76
$2d_{5/2}$	1.24	1.13	0.93	0.80
$2d_{3/2}$	1.26	1.15	0.95	0.83
$1g_{7/2}$	1.37	1.23	0.99	0.85
$2h_{11/2}$	1.18	1.08	0.88	0.75
$\Delta_F$	1.25	1.14	0.92	0.80

Как видно, спаривательная щель заметно уменьшается по сравнению с вариантом SLy4, в котором эффективное спаривательное взаимодействие рассчитывалось с  $m^*=m$ . В целом, значения  $\Delta_{\lambda\lambda}$  ближе к

результатам миланской группы, чем к результатам Дуге с соавторами. При этом для варианта Sly4-3 результат ближе к старому значению [2], чем к [3]. Конечно, делать окончательные заключения нужно с осторожностью, поскольку мы использовали Парижский потенциал, а не Аргонские силы, как в процитированных работах. Однако для плоского слоя эти два вида свободных  $NN$ -сил приводят к очень близким результатам. Так, эффективные спаривательные взаимодействия  $V_{\text{eff}}^p$  для них различаются не более чем на 2% [18]. Поскольку щель зависит от  $V_{\text{eff}}^p$  экспоненциально, даже такие ничтожные изменения на величину  $\Delta$  влияют, но лишь в пределах 10% [6]. На рис.3 показано как “ферми-среднее” эффективное

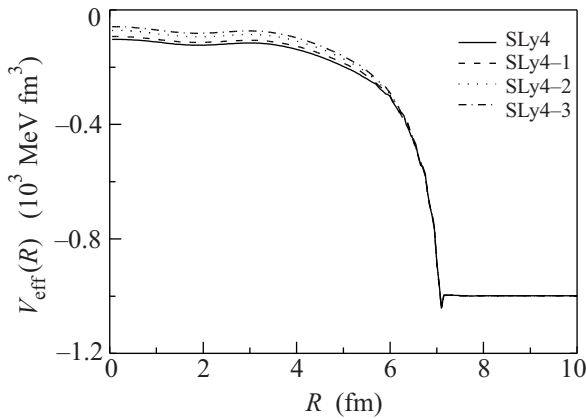


Рис.3. Ферми-среднее эффективное спаривательное взаимодействие  $V_{\text{eff}}^F$

взаимодействие  $V_{\text{eff}}^F(R)$  [4] зависит от эффективной массы. Опять, на взгляд, небольшие изменения  $V_{\text{eff}}^p$  приводят к большим эффектам в  $\Delta$ .

В заключение отметим, что проблема нахождения спаривательной щели в атомных ядрах из первых принципов, даже в приближении БКШ, оказалась сложнее, чем казалось. Результат в значительной степени определяется поведением эффективной массы нуклона вдали от поверхности Ферми. Что касается противоречий между результатами работ [2, 3], с одной стороны, и [7, 8], с другой, наши результаты оказались ближе к результатам миланской группы.

Работа выполнена при поддержке грантов Министерства науки и образования #НШ-3004.2008.2 и #2.1.1/4540, грантов Российского фонда фундаментальных исследований #07-02-00553-а, #09-02-01284-а и #09-02-12168-офи.м, а также совместного гранта РФФИ и DFG, Германия, #09-02-91352-ННИО\_а, 436 RUS 113/994/0-1(R).

1. F. Barranco, R. A. Broglia, H. Esbensen, and E. Vigezzi, Phys. Lett. B **390**, 13 (1997).
2. F. Barranco, R. A. Broglia, G. Colo et al., Eur. Phys. J. A **21**, 57 (2004).
3. A. Pastore, F. Barranco, R. A. Broglia, and E. Vigezzi, Phys. Rev. C **78**, 024315 (2008).
4. M. Baldo, U. Lombardo, E. E. Saperstein, and M. V. Zverev, Phys. Rep. **391**, 261 (2004).
5. S. Kamerdzhiev and E. E. Saperstein, Eur. Phys. J. A **37**, 333 (2008).
6. S. S. Pankratov, M. Baldo, U. Lombardo et al., Nucl. Phys. A **811**, 127 (2008).
7. T. Duguet and T. Lesinski, Eur. Phys. J. Special Topics **156**, 207 (2008).
8. K. Hebel, T. Duguet, T. Lesinski, and A. Schwenk, arXiv:0904.3152v1 [nucl-th] 21 Apr 2009.
9. А. В. Авдеенков, С. П. Камерджиев, Письма в ЖЭТФ **69**, 669 (1999).
10. J. Haidenbauer and W. Plessas, Phys. Rev. C **30**, 1822 (1984).
11. J. Haidenbauer and W. Plessas, Phys. Rev. C **32**, 1424 (1985).
12. А. Б. Мигдал, *Теория конечных ферми-систем и свойства атомных ядер* М.: Наука, 1965.
13. Э. Е. Саперштейн, С. С. Панкратов, М. В. Зверев и др., ЯФ **72**, 1059 (2009).
14. V. A. Khodel and E. E. Saperstein, Phys. Rep. **92**, 183 (1982).
15. S. A. Fayans, S. V. Tolokonnikov, E. L. Trykov, and D. Zawischa, Nucl. Phys. A **676**, 49 (2000).
16. M. Baldo, M. Farine, U. Lombardo et al., Eur. Phys. J. A **18**, 17 (2003).
17. N. Pillet, N. Sandulescu, and P. Schuck, Phys. Rev. C **76**, 024310 (2007).
18. С. С. Панкратов, М. Балдо, У. Ломбардо и др., ЯФ **70**, 688 (2007).